



## О ФОРМИРОВАНИИ КВАЗИЦИКЛИЧЕСКИХ КОМПОНЕНТ ИЗОБРАЖЕНИЙ С ЗАДАННЫМИ ЧАСТОТНЫМИ СВОЙСТВАМИ

**В. В. КРАСИЛЬНИКОВ  
А. А. ЧЕРНОМОРЕЦ**

Белгородский  
государственный  
университет

В работе изложен метод формирования компонент изображений, энергия которых сосредоточена в заданном частотном интервале. Приведены результаты вычислительных экспериментов, демонстрирующих работоспособность данного метода.

Ключевые слова: изображение, внедрение, частотный интервал, сосредоточенность энергии, собственный вектор.

### Введение

Задача формирования квазициклических компонент изображений с заданными частотными свойствами возникает при совершенствовании средств информационного обмена – при решении проблем уплотнения информации (повышения коэффициента сжатия за счет передачи в одном файле нескольких изображений), ее скрытия (использования стеганографических систем при создании скрытого канала передачи данных) и др. Так, например, при создании систем защиты от копирования, защиты авторских прав в процессе распространения в цифровом виде музыкальных, графических и других произведений широко используется внедрение в мультимедийные объекты «цифровых водяных знаков». Большинство методов создания «водяных знаков» не обладают устойчивостью к внешним разрушающим воздействиям. В данной работе изложены теоретические положения метода формирования компонент изображения, энергии которых полностью находятся в заданных частотных интервалах, что может быть использовано при создании устойчивых методов уплотнения и скрытия информации.

Предлагаемый метод формирования указанных компонент изображения базируется на положениях теории обработки изображений на основе частотных представлений [1, 2].

### 1. Теоретические основы обработки изображений на основе частотных представлений

Пусть  $\Phi = (f_{ik})$ ,  $i=1,2,\dots, N_1$ ,  $k=1,2,\dots, N_2$ , – некоторое изображение (дискретный двумерный сигнал), заданное матрицей яркости, размерности  $N_1 \times N_2$ , в которой значения элементов задаются яркостью соответствующих пикселей рассматриваемого изображения.

В работах [2, 3] показано, что точное значение  $P_\Omega$  доли энергии изображения  $\Phi$  в симметричной двумерной частотной области  $\Omega$ , названной субинтервалом,

$$\begin{aligned} \Omega : & \{(u, v) \mid (u \in [\alpha_1, \alpha_2], v \in [\beta_1, \beta_2]) \cup (u \in [\alpha_1, \alpha_2], v \in [-\beta_2, -\beta_1]) \cup \\ & \cup (u \in [-\alpha_2, -\alpha_1], v \in [-\beta_2, -\beta_1]) \cup (u \in [-\alpha_2, -\alpha_1], v \in [\beta_1, \beta_2])\}, \end{aligned} \quad (1)$$

где  $0 \leq \alpha_1, \alpha_2, \beta_1, \beta_2 \leq \pi$ ,

может быть вычислено без перехода в частотную область на основании выражения

$$P_\Omega = \operatorname{tr}(\mathbf{C}^T \cdot \Phi \cdot \mathbf{B} \cdot \Phi^T), \quad (2)$$

где  $\Phi$  – матрица исходного изображения (двумерного сигнала),  $\mathbf{A} = (a_{i_1 i_2})$  и  $\mathbf{B} = (b_{k_1 k_2})$  – субполосные матрицы [1], размерности  $N_1 \times N_1$  и  $N_2 \times N_2$ , значения элементов которых определяются на основании следующих выражений:



$$a_{i_1 i_2} = \begin{cases} \frac{\sin(\alpha_2(i_1 - i_2)) - \sin(\alpha_1(i_1 - i_2))}{\pi(i_1 - i_2)}, & i_1 \neq i_2, \\ \frac{\alpha_2 - \alpha_1}{\pi}, & i_1 = i_2, \end{cases} \quad b_{k_1 k_2} = \begin{cases} \frac{\sin(\beta_2(k_1 - k_2)) - \sin(\beta_1(k_1 - k_2))}{\pi(k_1 - k_2)}, & k_1 \neq k_2, \\ \frac{\beta_2 - \beta_1}{\pi}, & k_1 = k_2. \end{cases} \quad (3)$$

В работе [2] также показано, что выражение

$$Y_\Omega = A^T \cdot \Phi \cdot B \quad (4)$$

определяет результат  $Y_\Omega$  фильтрации изображения  $\Phi$  в частотной области  $\Omega$ , оптимальный в смысле евклидовой нормы отклонения трансформанты Фурье  $Z(u,v)$  результата фильтрации  $Y_\Omega$ , в заданном частотном интервале  $\Omega$ , от трансформанты Фурье  $F(u,v)$  исходного изображения  $\Phi$  и от нуля – вне данного интервала, т.е.

$$\iint_{(u,v) \in \Omega} |F(u,v) - Z(u,v)|^2 dudv + \iint_{(u,v) \notin \Omega} |Z(u,v)|^2 dudv \Rightarrow \min. \quad (5)$$

Определенный таким образом результат фильтрации не допускает растекания энергии двумерного сигнала (изображения) за пределы заданной частотной области.

Субполосные матрицы являются симметрическими, неотрицательно определенными, следовательно, матрицы  $A$  и  $B$  представимы в виде произведения матриц

$$A = Q^A \cdot L^A \cdot Q^{A^T}, \quad B = Q^B \cdot L^B \cdot Q^{B^T}, \quad (6)$$

где

$$L^A Q^A = A Q^A, \quad L^B Q^B = B Q^B,$$

$Q^A, Q^B$  – матрицы, столбцами которых являются собственные векторы матриц  $A$  и  $B$ ,

$$Q^A = (q_1^A, q_2^A, \dots, q_{N_1}^A), \quad Q^B = (q_1^B, q_2^B, \dots, q_{N_2}^B), \quad (7)$$

$L^A, L^B$  – диагональные матрицы, составленные из собственных чисел матриц  $A$  и  $B$ ,

$$L^A = \text{diag}(\lambda_1^A, \lambda_2^A, \dots, \lambda_{N_1}^A), \quad L^B = \text{diag}(\lambda_1^B, \lambda_2^B, \dots, \lambda_{N_2}^B). \quad (8)$$

Предполагается, что собственные числа упорядочены по убыванию

$$\lambda_1^A > \lambda_2^A > \dots > \lambda_{N_1}^A, \quad \lambda_1^B > \lambda_2^B > \dots > \lambda_{N_2}^B.$$

Известны [1] свойства собственных векторов и собственных чисел субполосных матриц:

а) собственные векторы отдельной субполосной матрицы, например, матрицы  $A$  образуют ортогональную систему:

$$(q_i^A, q_i^A) = 1, \quad \forall i, \quad (9)$$

$$(q_{i_1}^A, q_{i_2}^A) = 0, \quad i_1 \neq i_2, \quad \forall i_1, i_2;$$

б) собственные векторы субполосных матриц  $A_{r1}$  и  $A_{r2}$ , одинаковой размерности  $N \times N$ , соответствующих непересекающимся частотным интервалам  $r_1$  и  $r_2$ , ортогональны, т.е. если

$$\lambda_i^{A_{r1}} q_i^{A_{r1}} = A_{r1} q_i^{A_{r1}} \text{ и } \lambda_k^{A_{r2}} q_k^{A_{r2}} = A_{r2} q_k^{A_{r2}},$$

то

$$(q_i^{A_{r1}}, q_k^{A_{r2}}) = 0, \quad \forall i, k = 1, 2, \dots, N; \quad (10)$$

в) собственные числа субполосных матриц принимают значения в интервале  $[0, 1]$ :

$$0 < \lambda_i^A \leq 1, \quad \forall i, \quad 0 < \lambda_k^B \leq 1, \quad \forall k. \quad (11)$$



## 2. Формирование двумерных сигналов с минимальной долей просачивания энергии за пределы заданного частотного интервала

**2.1.** Формирование отдельного двумерного сигнала с заданными частотными свойствами.

Определим требования, при которых энергия  $P_\Omega(W)$  некоторого двумерного сигнала  $W$  сосредоточена в одном частотном субинтервале  $\Omega$ . Данные требования могут быть сформулированы в результате решения следующей вариационной задачи

$$\|W\|^2 - P_\Omega(W) \rightarrow \min_W. \quad (12)$$

Отметим, что так как

$$\|W\|^2 - P_\Omega(W) \geq 0,$$

то минимальное возможное значение задачи (2.1) соответствует случаю, когда

$$\|W\|^2 - P_\Omega(W) = 0, \quad (13)$$

т.е. энергия сигнала  $W$  целиком сосредоточена только в частотном субинтервале  $\Omega$ .

Используя равенство

$$\|W\|^2 = \text{tr}(\mathbf{W}\mathbf{W}^T)$$

и соотношение (2), можно выполнить следующие преобразования:

$$\begin{aligned} \|W\|^2 - P_\Omega(W) &= \text{tr}(\mathbf{W}\mathbf{W}^T) - \text{tr}(\mathbf{A}\mathbf{W}\mathbf{B}\mathbf{W}^T) = \\ &= \text{tr}((\mathbf{W} - \mathbf{A}\mathbf{W}\mathbf{B})\mathbf{W}^T). \end{aligned}$$

Используя представление субполосных матриц с помощью их собственных чисел и векторов (6), получим

$$\begin{aligned} \text{tr}((\mathbf{W} - \mathbf{Q}_A \mathbf{L}_A \mathbf{Q}_A^T \mathbf{W} \mathbf{Q}_B \mathbf{L}_B \mathbf{Q}_B^T)\mathbf{W}^T) &= \\ &= \text{tr}(\mathbf{Q}_A (\mathbf{Q}_A^T \mathbf{W} \mathbf{Q}_B - \mathbf{L}_A \mathbf{Q}_A^T \mathbf{W} \mathbf{Q}_B \mathbf{L}_B) \mathbf{Q}_B^T \mathbf{W}^T). \end{aligned}$$

Рассмотрим некоторый двумерный сигнал  $Y$ :

$$Y = \mathbf{Q}_A^T \mathbf{W} \mathbf{Q}_B. \quad (14)$$

Тогда вариационная задача (12) может быть записана в виде:

$$\text{tr}(\mathbf{Q}_A (Y - \mathbf{L}_A Y \mathbf{L}_B) \mathbf{Q}_B^T \mathbf{W}^T) \rightarrow \min_W. \quad (15)$$

Очевидно, что условием оптимальности решения задачи (1) является использование в преобразованиях над сигналами только собственных чисел, равных 1, и соответствующих им собственных векторов. В этом случае будем иметь

$$Y - \mathbf{L}_A Y \mathbf{L}_B = Z,$$

где  $Z$  – нулевая матрица.

Выполним некоторые преобразования, которые помогут найти оптимальное решение задач (12), (15).

Обозначим,  $J_{1A}$  и  $J_{1B}$  – количество собственных чисел субполосных матриц  $A$  и  $B$ , равных 1 (единичные собственные числа субполосных матриц существуют на основании их свойств).

Обозначим также  $Q_{1A}$  и  $Q_{1B}$  – матрицы, составленные из собственных векторов, соответствующих единичным собственным числам субполосных матриц  $A$  и  $B$ . Размерности матриц  $Q_{1A}$  и  $Q_{1B}$  равны  $(N_1, J_{1A})$  и  $(N_2, J_{1B})$  соответственно.

Напомним, что размерности матриц  $Q_A$  и  $Q_B$  соответственно равны  $(N_1, N_1)$  и  $(N_2, N_2)$ , размерность сигналов  $W$  и  $Y$  равна  $(N_1, N_2)$ .

Рассмотрим произвольный двумерный сигнал  $Y_1$ , размерности  $(J_{1A}, J_{1B})$  и матрицу  $Y_{11}$ , определяемую значениями сигнала  $Y_1$ :

$$Y_{11} = Y_1.$$



Рассмотрим далее сигнал  $W'$ , задаваемый выражением

$$W' = [Q_{1A} \ Q_{0A}] \begin{bmatrix} Y_{11} & Y_{12} \\ Y_{21} & Y_{22} \end{bmatrix} \begin{bmatrix} Q_{1B}^T \\ Q_{0B}^T \end{bmatrix}, \quad (16)$$

где  $Q_{0A}$  и  $Q_{0B}$  – нулевые матрицы, дополняющие матрицы  $Q_{1A}$  и  $Q_{1B}$  до матриц размерности  $(N_1, N_1)$  и  $(N_2, N_2)$  соответственно,  $Y_{12}$ ,  $Y_{21}$ ,  $Y_{22}$  – нулевые матрицы, дополняющие матрицу  $Y_{11}$  до матрицы, размерности  $(N_1, N_2)$ , скобки [ ] – операция составления некоторой матрицы из блоков других матриц.

Вычислим значение функции цели задачи (12), (15) для двумерного сигнала  $W'$  (16). Для этого рассмотрим сигнал  $Y'$ , заданный с помощью выражения (14) для сигнала  $W'$ , он имеет вид

$$\begin{aligned} Y' &= Q_A^T W' Q_B = \\ &= Q_A^T [Q_{1A} \ Q_{0A}] \begin{bmatrix} Y_{11} & Y_{12} \\ Y_{21} & Y_{22} \end{bmatrix} \begin{bmatrix} Q_{1B}^T \\ Q_{0B}^T \end{bmatrix} Q_B = \\ &= \begin{bmatrix} Q_{1A}^T \\ Q_{2A}^T \end{bmatrix} [Q_{1A} \ Q_{0A}] \begin{bmatrix} Y_{11} & Y_{12} \\ Y_{21} & Y_{22} \end{bmatrix} \begin{bmatrix} Q_{1B}^T \\ Q_{0B}^T \end{bmatrix} [Q_{1B} \ Q_{2B}], \end{aligned}$$

где  $Q_{2A}$  и  $Q_{2B}$  – матрицы, столбцы которых составлены из собственных векторов с номерами, начиная с  $J_{1A} + 1$  и  $J_{1B} + 1$ , субполосных матриц  $A$  и  $B$  соответственно.

Учитывая свойство ортогональности собственных векторов субполосных матриц, имеем

$$Y' = \begin{bmatrix} Y_{11} & Y_{12} \\ Y_{21} & Y_{22} \end{bmatrix}.$$

Тогда для сигналов  $Y'$  и  $W'$  разность в выражении (2.4) имеет вид

$$Y' - L_A Y' L_B = Y' - L_A \begin{bmatrix} Y_{11} & Y_{12} \\ Y_{21} & Y_{22} \end{bmatrix} L_B = Y' - Y' = Z,$$

где  $Y_{12}$ ,  $Y_{21}$ ,  $Y_{22}$  и  $Z$  – нулевые матрицы.

Таким образом, доказано, что для двумерного сигнала  $W'$ , задаваемого с помощью выражения (16), имеем

$$\|W'\|^2 - P_\Omega(W') = 0.$$

Покажем, что с сигналом  $W'$  совпадает двумерный сигнал  $W_1$ , полученный в результате преобразования

$$W_1 = Q_{1A} Y_1 Q_{1B}^T. \quad (17)$$

Выполним следующие преобразования:

$$\begin{aligned} W' &= [Q_{1A} \ Q_{0A}] \begin{bmatrix} Y_{11} & Y_{12} \\ Y_{21} & Y_{22} \end{bmatrix} \begin{bmatrix} Q_{1B}^T \\ Q_{0B}^T \end{bmatrix} = \\ &= [S_{11} \ S_{12}] \begin{bmatrix} Q_{1B}^T \\ Q_{0B}^T \end{bmatrix} = \\ &= S_{11} Q_{1B}^T + S_{12} Q_{0B}^T = S_{11} Q_{1B}^T = Q_{1A} Y_1 Q_{1B}^T, \end{aligned}$$

где

$$S_{11} = Q_{1A} Y_{11} + Q_{0A} Y_{21} = Q_{1A} Y_{11} = Q_{1A} Y_1,$$

$$S_{12} = Q_{1A} Y_{12} + Q_{0A} Y_{22} = Z_{12},$$

$Z_{12}$  – нулевая матрица.



Таким образом, для выражений (16) и (17) имеем

$$W_1 = W'.$$

Следовательно, справедливо следующее утверждение: для того чтобы энергия некоторого сигнала  $W_\Omega$ , размерности  $(N_1, N_2)$  была сосредоточена только в одном частотном субинтервале  $\Omega$ , достаточно, чтобы он был сформирован на основании другого сигнала  $Y_1$ , размерности  $(J_{1A}, J_{1B})$  и матриц  $Q_{1A}$  и  $Q_{1B}$ , столбцы которых составлены из собственных векторов, соответствующих единичным собственным числам субполосных матриц  $A$  и  $B$  (матрицы  $A$  и  $B$  соответствуют частотному субинтервалу  $\Omega$ ):

$$W_\Omega = Q_{1A} Y_1 Q_{1B}^T. \quad (18)$$

Для восстановления сигнала  $Y_1$  из сигнала  $W_\Omega$  следует выполнить преобразование

$$Y_1 = Q_{1A}^T W_\Omega Q_{1B}. \quad (19)$$

## 2.2. Свойства суммы двумерных сигналов с заданными частотными свойствами.

Покажем, что из суммы нескольких сигналов, сформированных с помощью выражения (18) для различных двумерных частотных интервалов, можно восстановить каждый из использованных сигналов.

Предположим, что суммарный двумерный сигнал, содержащий формируемые сигналы, имеет размерность  $(N_1, N_2)$ .

Пусть двумерная частотная область разбита на множество непересекающихся равновеликих частотных интервалов  $\{\Omega_{r_1 r_2}\}$ ,  $r_1=1, 2, \dots, R_1$ ;  $r_2=1, 2, \dots, R_2$ , для каждого из которых вычислены субполосные матрицы  $A_{r_1}$  и  $B_{r_2}$ .

Для всех субполосных матриц найдем собственные числа и упорядочим их по убыванию (отдельно для каждой субполосной матрицы).

Определим значения  $J_{1A}$ ,  $J_{1B}$  – минимальное количество единичных собственных чисел соответственно субполосных матриц  $A_{r_1}$ ;  $r_1=1, 2, \dots, R_1$ , и  $B_{r_2}$ ,  $r_2=1, 2, \dots, R_2$ ,

$$J_{1A} = \min_{\eta=1, 2, \dots, R_1} \{J_{1A_{\eta}}\},$$

$$J_{1B} = \min_{\eta=1, 2, \dots, R_2} \{J_{1B_{\eta}}\}.$$

Зададим матрицы  $Q_{1A_{r_1}}$  и  $Q_{1B_{r_2}}$ ,  $r_1=1, 2, \dots, R_1$ ,  $r_2=1, 2, \dots, R_2$ , столбцы которых составлены из  $J_{1A}$  и  $J_{1B}$  собственных векторов, соответствующих указанным выше единичным собственным числам субполосных матриц  $A_{r_1}$  и  $B_{r_2}$ .

Зададим произвольные двумерные сигналы  $\{Y_{r_1 r_2}\}$ ,  $r_1=1, 2, \dots, R_1$ ,  $r_2=1, 2, \dots, R_2$ , размерностью  $(J_{1A}, J_{1B})$ .

Сформируем сигнал  $W$  как сумму преобразованных (в соответствии с выражением (18)) сигналов:

$$W = \sum_{i=1}^{R_1} \sum_{k=1}^{R_2} Q_{1A_{\eta}} Y_{ik} Q_{1B_{\eta}}^T. \quad (20)$$

Выполним восстановление исходного сигнала  $Y_{r_1 r_2}$ ,  $r_1=1, 2, \dots, R_1$ ,  $r_2=1, 2, \dots, R_2$ , на основании выражения (19), умножив матрицу  $W$  слева и справа на соответствующие матрицы собственных векторов. Учтем тот факт, что собственные векторы субполосных матриц ортогональны. Тогда

$$\begin{aligned} Q_{1A_{\eta}}^T W Q_{1B_{\eta}} &= Q_{1A_{\eta}}^T \left( \sum_{i=1}^{R_1} \sum_{k=1}^{R_2} Q_{1A_{\eta}} Y_{ik} Q_{1B_{\eta}}^T \right) Q_{1B_{\eta}} = \\ &= \sum_{i=1}^{R_1} \sum_{k=1}^{R_2} Q_{1A_{\eta}}^T Q_{1A_{\eta}} Y_{ik} Q_{1B_{\eta}}^T Q_{1B_{\eta}} = Q_{1A_{\eta}}^T Q_{1A_{\eta}} Y_{\eta \eta} Q_{1B_{\eta}}^T Q_{1B_{\eta}} = Y_{\eta \eta}. \end{aligned} \quad (21)$$

Соотношение (21) указывает на тот факт, что одновременно в различные частотные интервалы можно «разместить» несколько исходных сигналов, которые затем можно «извлечь» из суммарного сигнала.



Поскольку изображения представляют собой двумерные сигналы, то приведенные выше соотношения (18)–(19) и (20)–(21), определяющие метод формирования сигналов с заданными частотными свойствами, справедливы при обработке изображений и их квазициклических компонент, соответствующих различным частотным интервалам.

Следовательно, если (с учетом размерностей изображений) некоторое изображение  $W$  было получено в результате суммирования произвольного изображения и матрицы  $W_\Omega$ , сформированной на основании другого изображения  $Y_1$  с помощью выражений (18), (20), то изображение  $Y_1$  всегда может быть восстановлено с помощью выражений (19), (21).

### 3. Проверка работоспособности метода

Для проверки работоспособности предлагаемого метода формирования квазициклических компонент изображений с заданными частотными свойствами был проведен ряд вычислительных экспериментов над реальными изображениями – фотографиями земной поверхности.

Так, при проведении вычислительных экспериментов рассматривалось изображение-контейнер  $W_0$  (изображение 512x512 пикселей, рис. 1а), в которое внедрялся фрагмент  $Y_0$  другого изображения (рис. 2а). При этом частотная область  $\{0 \leq u, v \leq \pi\}$  была разбита на 16 равных по величине субинтервалов (рис. 2в). Для заданного изображения-контейнера было произведено внедрение (рис. 1б) фрагмента в субинтервал  $\Omega_{13}$ , которому соответствует доля энергии исходного изображения-контейнера меньше, чем 99% от его суммарной энергии.

Так как в данном эксперименте количество единичных собственных чисел используемых в вычислениях субполосных матриц равно 122, то внедряемый фрагмент изображения был выбран размером (122,122) пикселей.

Результат  $W$  внедрения фрагмента  $Y_0$  в контейнер  $W_0$  был получен на основании следующего соотношения (предварительно из изображения-контейнера был удален результат фильтрации  $Y_\Omega$  (1.4)):

$$W = W_0 + Q_{1A1} Y_0 Q_{1B3}^T.$$

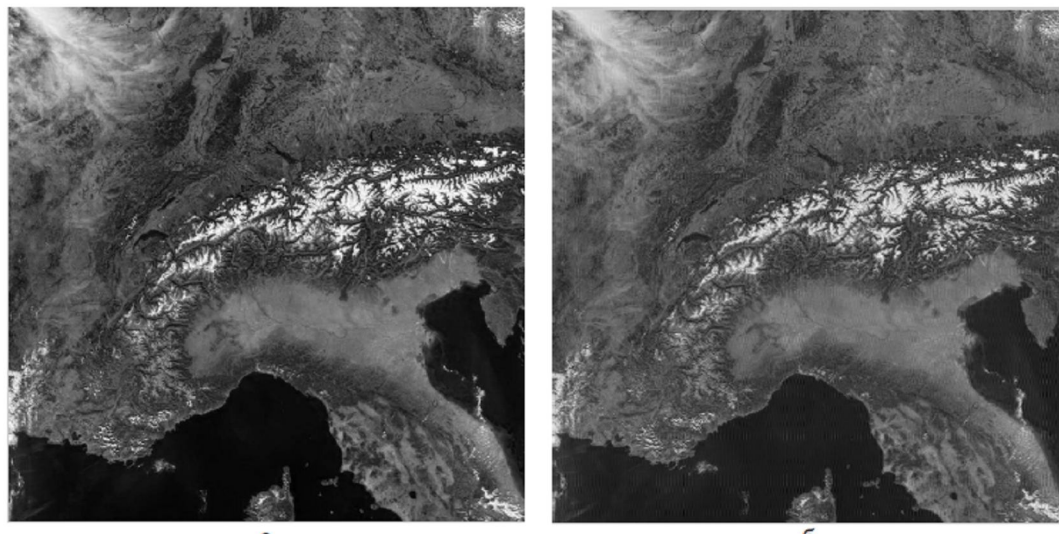


Рис. 1. Изображение-контейнер:  
исходное (а), с внедренным фрагментом (б)



Визуально изображения  $W$  и  $W_0$  практически не отличаются (рис. 1). Значение среднеквадратического отклонения для данных изображений равно 0.067.

Далее на изображение-контейнер с внедренным фрагментом был наложен случайный шум с отношением шум/сигнал, равным 0.03. При восстановлении фрагмента из зашумленного контейнера было получено изображение  $Y_n$ , среднеквадратическое отклонение которого от исходного фрагмента равняется 0.15 (рис. 2б).

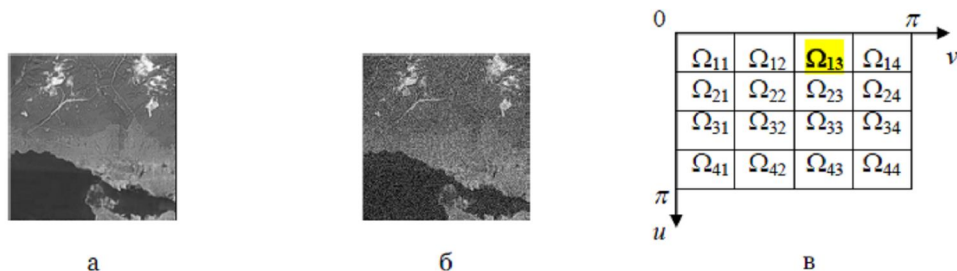


Рис. 2. Внедряемый фрагмент (а), результат восстановления фрагмента при зашумленном контейнере (б), разбиение частотной области (в)

### Выходы

Предложенный метод позволяет формировать компоненты изображений, энергия которых сосредоточена в заданном частотном интервале, внедрять и восстанавливать их в изображениях.

Вычислительные эксперименты продемонстрировали работоспособность данного метода и некоторую устойчивость внедренной в изображение информации к случайному шуму.

### Литература

1. Жиляков, Е.Г. Методы анализа и построения функций по эмпирическим данным на основе частотных представлений / Е.Г. Жиляков. – Белгород: Изд-во БелГУ, 2007. – 160 с.
2. Жиляков, Е.Г. Вариационные алгоритмы анализа и обработки изображений на основе частотных представлений [Текст] / Е.Г. Жиляков, А.А. Черноморец. – Белгород: Изд-во ООО ГиК, 2009. – 146 с.
3. Жиляков, Е.Г. Метод определения точных значений долей энергии изображений в заданных частотных интервалах / Е.Г. Жиляков, А.А. Черноморец, И.В. Лысенко // Вопросы радиоэлектроники. – Сер. РЛТ. – 2007. – Вып. 4. – С. 115-123.

*Исследование выполнено при поддержке ФЦП «Научные и научно-педагогические кадры инновационной России», Государственный контракт №14.740.11.0390*

## ON FORMING QUASICYCLIC IMAGE COMPONENTS WITH SPECIFIED FREQUENCY PROPERTIES

A. A. CHERNOMORETS  
V. V. KRASILNIKOV

*Belgorod State University*

In this work we propose a method of forming image components that have their energy concentrated in specified frequency interval. We give results of computational experiments that demonstrate the efficiency of the method.

Key words: image, implementation, frequency interval, energy concentration, eigenvector.